#### = НЕОРГАНИЧЕСКИЕ МАТЕРИАЛЫ И НАНОМАТЕРИАЛЫ =

УДК 546.261:28+546.832:27

# СИНТЕЗ Ti<sub>2</sub>AIC В РАСПЛАВЕ КВr: ВЛИЯНИЕ ТЕМПЕРАТУРЫ И СООТНОШЕНИЯ КОМПОНЕНТОВ

© 2024 г. Е. П. Симоненко<sup>a</sup>, \*, И. А. Нагорнов<sup>a</sup>, А. С. Мокрушин<sup>a</sup>, В. М. Сапронова<sup>a</sup>, Ф. Ю. Горобцов<sup>a</sup>, Н. П. Симоненко<sup>a</sup>, Н. Т. Кузнецов<sup>a</sup>

<sup>a</sup> Институт общей и неорганической химии им. Н.С. Курнакова РАН,
Ленинский пр-т, 31, Москва, 119991 Россия
<sup>b</sup> Российский химико-технологический университет им. Д.И. Менделеева, Миусская пл., 9, Москва, 125047 Россия
\*e-mail: ep\_simonenko@mail.ru

Поступила в редакцию 04.07.2024 г. После доработки 15.07.2024 г. Принята к публикации 23.07.2024 г.

МАХ-фазы различного состава в последнее время находят все более широкое применение благодаря своей слоистой структуре и свойствам, характерным для керамических материалов и металлов. Поэтому большое значение имеет разработка легко масштабируемых методов получения данных соединений, характеризующихся повышенной фазовой чистотой. В работе изучено влияние на состав и свойства такой MAX-фазы, как  $Ti_2AlC$ , условий ее получения с применением защитного расплава солей (на примере KBr), в частности, соотношений исходных реагентов (n(Ti):n(Al):n(C)), температуры и длительности термической обработки. Установлено, что при температуре  $1100^{\circ}C$  наибольший выход  $Ti_2AlC$  (94.4%) достигается при мольном соотношении n(Ti):n(Al):n(C) = 2:1.1:0.9. Показано, что при температурах синтеза от 900 до  $1100^{\circ}C$  содержание целевой MAX-фазы изменяется незначительно (от 94 до 96%), максимальное содержание  $Ti_2AlC$  установлено при получении образца при температуре  $1000^{\circ}C$ . Изучено также влияние температуры синтеза (900, 1100 и  $1200^{\circ}C$ ) на микроструктуру, термическое поведение в токе воздуха и величину работы выхода электрона.

Ключевые слова: МАХ-фаза, синтез в расплаве солей, окисление, работа выхода электрона

**DOI:** 10.31857/S0044457X24110128, **EDN**: JKJOHO

### ВВЕДЕНИЕ

В последние годы все больше расширяется интерес к MAX-фазам, в первую очередь к Ti<sub>3</sub>SiC<sub>2</sub>,  $Ti_3AlC_2$  и  $Ti_2AlC$  [1-9], причем информации о синтезе и свойствах последнего соединения (со структурой 211) значительно меньше, чем для соединений со структурой 312. Во многом это связано с разработками на их основе методов получения новейшего класса двумерных наноматериалов — максенов, для которых прогнозируется чрезвычайно широкое практическое применение (компоненты устройств генерации и хранения энергии [10–12], газовые и биосенсоры [13–19], катализ [20-22] и др. [23]). Однако и сами по себе MAX-фазы, включая Ti<sub>2</sub>AlC, являются перспективными керамическими материалами для различных сфер [24], поскольку благодаря особенностям своего строения обладают высокой прочностью, относительно низкой плотностью, хорошей коррозионной устойчивостью, высокими тепло- и электропроводностью, термостойкостью и другими положительными свойствами, сочетающими в себе параметры керамики и металла. Так, согласно [25-27], МАХ-фазы могут найти применение в атомной энергетике как обладающие достаточно высокой стойкостью к коррозии, в том числе при воздействии нейтронного излучения. В работе [28] изучена возможность использования Ti<sub>2</sub>AlC, Ti<sub>3</sub>AlC<sub>2</sub> и Cr<sub>2</sub>AlC в качестве компонентов солнечных коллекторов. Активно исследуется перспектива применения титансодержащих карбидных МАХ-фаз для соединения керамических и композиционных материалов (SiC, SiC<sub>f</sub>/SiC и C<sub>f</sub>/SiC) [29-35]. В исследовании [36] показано, что добавка 15 об. % МАХ-фазы состава Ti<sub>3</sub>AlC<sub>2</sub> позволяет снизить чувствительность электропроводности карбидокремниевой керамики к изменению температуры в интервале  $20-400^{\circ}$  С, это позволяет предложить ее для изготовления резисторов постоянного сопротивления.

Получение карбидных МАХ-фаз возможно с применением различных подходов, среди которых преобладают спекание из элементов без давления [37-40], горячее прессование [41-44] и искровое плазменное спекание [39, 45-47]. Однако в последнее десятилетие активно развивается такая методика, как синтез тугоплавких фаз в защитном расплаве солей [37, 48-55]. Последний метод [56], помимо возможности проведения термической обработки без инертной атмосферы и вакуумирования, обладает некоторыми существенными преимуществами, так как жидкая фаза повышает скорость диффузии компонентов и, соответственно, химических реакций и в некоторых случаях позволяет уменьшить температуру синтеза. В связи с этим разработка новых методов синтеза с применением защитного расплава солей практически значимых МАХ-фаз (в том числе Ti<sub>2</sub>AlC), которые имеют высокий потенциал масштабирования, является актуальной и важной задачей.

Как известно, получение MAX-фаз, не загрязненных карбидом переходного металла, непрореагировавшими исходными металлами, интерметаллидами или MAX-фазой другого состава, практически невозможно реализовать из-за узкой области гомогенности. Однако минимизация присутствия примесных компонентов в веществе является чрезвычайно практически значимой задачей, так как они могут оказывать негативное влияние на свойства получаемых керамических и композиционных материалов, например на радиационную стойкость, а также на ход и условия их изготовления.

Целью настоящей работы является изучение особенностей синтеза MAX-фазы  $Ti_2AlC$  в расплаве бромида калия при варьировании соотношений исходных компонентов, температуры и длительности термической обработки.

#### ЭКСПЕРИМЕНТАЛЬНАЯ ЧАСТЬ

Для синтеза образцов MAX-фазы  $Ti_2AlC$  использовали порошки титана (>99%, OOO "Снабтехмет"), алюминия ( $\geq$ 98%, OOO "РусХим"), графита (>99.99%, OOO "Особо чистые вещества"), KBr (х. ч., OOO "РусХим").

Основной алгоритм получения МАХ-фазы Ti<sub>2</sub>AlC подробно описан в предыдущих исследованиях [1, 15, 16, 57]. В частности, для этого применяли метод синтеза в защитном расплаве солей [37, 49, 51, 52, 55, 58-60], а в качестве солевого компонента использовали бромид калия. Для изучения влияния соотношения исходных компонентов n(Ti):n(Al) варьировали от 2:1 до 2:1.2, а n(Ti):n(C) — от 2:0.8 до стехиометрического соотношения 2:1. Соотношение m(Ti+Al+C):m(KBr)во всех экспериментах составляло 1:1. После смешения, гомогенизации (планетарная мельница, размольный стакан и мелющие тела из ZrO<sub>2</sub>, в среде этанола, 400 об/мин) и сушки выполняли холодное прессование образцов в виде цилиндров диаметром 10 мм и толщиной от 1 до 2.5 см. Термическую обработку образцов проводили в трубчатой печи в атмосфере аргона при температурах 900-1200°C в течение 5 ч, а затем охлаждали вместе с печью. Далее образцы промывали от бромида калия горячей дистиллированной водой и сушили при температуре 90°C до прекращения изменения массы.

Термическое поведение полученных образцов MAX-фаз  $Ti_2AlC$  в токе воздуха (скорость потока 250 мл/мин) изучали с применением синхронного ДСК/ДТА/ТГА-анализатора SDT-Q600 (ТА Instruments) в корундовых тиглях со скоростью нагрева 10 град/мин в диапазоне температур 25-1000°C.

Рентгенограммы продуктов регистрировали на рентгеновском дифрактометре Bruker D8 Advance ( $CuK_{\alpha}$ -излучение, разрешение  $0.02^{\circ}$  при накоплении сигнала в точке в течение 0.3 с). Рентгенофазовый анализ проводили с помощью программы MATCH! — Phase Identification from Powder Diffraction, Version 3.8.0.137 (Crystal Impact, Германия) с использованием базы данных Crystallography Open Database.

Для изучения микроструктуры образцов методом растровой электронной микроскопии использовали двулучевой сканирующий электронно-ионный микроскоп FIB-SEM TESCAN AMBER (Tescan s.r.o., Чехия), ускоряющее напряжение составляло 2 кВ.

Работу выхода электрона с поверхности материалов определяли с помощью Кельвинзондовой силовой микроскопии (**K3CM**) на атомно-силовом микроскопе Solver PRO-M (NT-MDT, Россия) по формуле:

$$\phi_{(\text{ofp})} = \phi_{\text{tip}} - \phi_{\text{cpd}},\tag{1}$$

где  $\phi_{(oбp)}$  — работа выхода материала,  $\phi_{tip}$  — работа выхода зонда (определена заранее при его калибровке с помощью высокоориентированного пиролитического графита),  $\phi_{cpd}$  — средняя контактная разность потенциалов между участком поверхности образца и кончиком кантилевера. Зонд принадлежал к серии проводящих зондов ETALON HA-HR/W2C+ (ScanSens, Германия). Все измерения проводили на воздухе.

#### РЕЗУЛЬТАТЫ И ОБСУЖДЕНИЕ

Влияние соотношения исходных порошков n(Ti):n(Al):n(C)

Для исследования влияния соотношения исходных компонентов были выполнены серии экспериментов при фиксированной температуре 1100°C и длительности термической обработки 5 ч. При этом мольное соотношение n(Ti):n(Al) составляло 2:1, 2:1.1 и 2:1.2, а соотношение n(Ti):n(C) - 2:0.8, 2:0.9 и 2:1. Для полученных продуктов после удаления бромида калия промывкой горячей дистиллированной водой были записаны рентгенограммы, представленные на рис. 1. Обобщение зависимости содержания целевой фазы Ti<sub>2</sub>AlC от соотношения исходных порошков показано на рис. 2, из которого видно, что по мере удаления от стехиометрического состава n(Ti):n(Al):n(C) = 2:1:1 при повышении содержания алюминия наблюдается рост содержания целевой фазы Ti<sub>2</sub>AlC с 74 до 79.7% (для соотношения n(Ti):n(Al):n(C) == 2:1.1:1) с дальнейшим незначительным уменьшением до 79.1% для наибольшего содержания алюминия (за счет повышения содержания примесей вторичной МАХ-фазы ТізАІС2 и интерметаллида TiAl). Подобную тенденцию можно наблюдать и для соотношений n(Ti):n(C), равных 2:0.9 и 2:0.8, а именно: при повышении количества алюминия в исходной смеси до 2:1.1 количество  $Ti_2AlC$  растет, а при n(Ti):n(Al) = 1.2 вновь значительно снижается, прежде всего за счет повышения количества Ti<sub>3</sub>AlC<sub>2</sub>. Минимальное содержание примесных фаз всех типов (монокарбида титана, MAX-фазы Ti<sub>3</sub>AlC<sub>2</sub>, интерметаллидов TiAl и Ti<sub>3</sub>Al) можно констатировать при соотношении n(Ti):n(Al):n(C) = 2:1.1:0.9. При этом

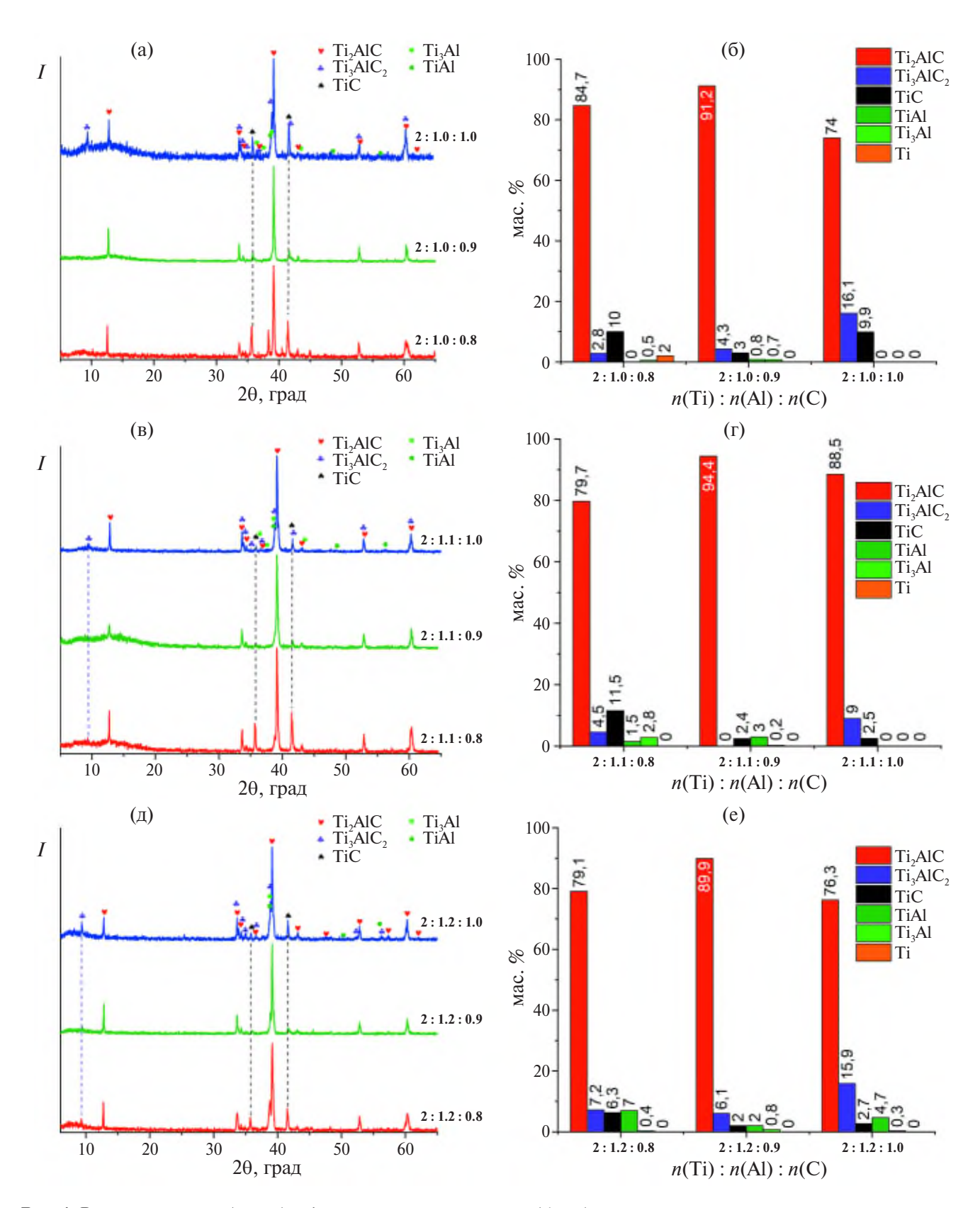
варьирование в исходной смеси содержания углерода приводит к более значимому изменению количества целевой фазы по сравнению с варьированием n(Ti):n(AI). Для выбранного оптимального соотношения далее исследовали влияние на состав продуктов температуры синтеза и длительности выдержки.

Влияние температуры и длительности синтеза при фиксации соотношения n(Ti):n(Al):n(C)

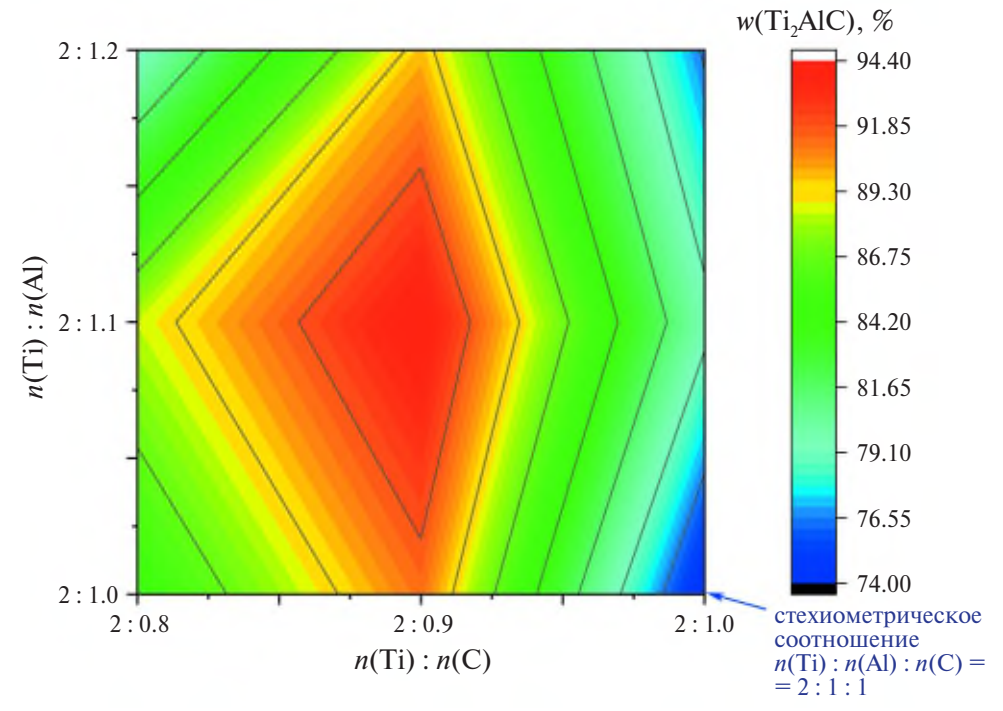
Для выбранного состава n(Ti):n(Al):n(C) == 2:1.1:0.9, который позволяет получить наибольшее содержание в образце целевой фазы Ті2АІС при температуре 1100°С, изучена эффективность изменения длительности выдержки при данной температуре синтеза (рис. 3). Так, сокращение времени выдержки с 5 до 2 ч приводит к сокращению содержания Ti<sub>2</sub>AlC с 94.4 до 86.4%, а также к появлению примеси второй МАХ-фазы Ti<sub>3</sub>AlC<sub>2</sub>. Кроме того, отмечается более высокое содержание монокарбида титана по сравнению с образцом, синтезированным при более длительной термической обработке (5 ч). Таким образом, отмечена важность достаточно длительной выдержки для полного протекания синтеза в среде расплавленного бромида калия.

Проведение синтеза в защитном расплаве КВг при различных температурах (900–1200°C, рис. 4) показало, что формирование фазы Ti<sub>2</sub>AlC происходит даже при наиболее мягких условиях (900°С), причем ее содержание превышает 94%. Среди основных примесей необходимо отметить монокарбид титана (3.7%) и интерметаллиды TiAl и Ti<sub>3</sub>Al, формирование побочной MAXфазы Ti<sub>3</sub>AlC<sub>2</sub> не отмечено. Наибольшее содержание основного вещества (>96%) зафиксировано в продукте, полученном при 1000°C. Повышение температуры процесса до 1200°C приводит к резкому снижению выхода Ti<sub>2</sub>AlC до 82-83% за счет появления Ti<sub>3</sub>AlC<sub>2</sub>, а также резкого повышения количества TiC и Ti<sub>3</sub>Al, вероятно, из-за деструкции фазы Ti<sub>2</sub>AlC.

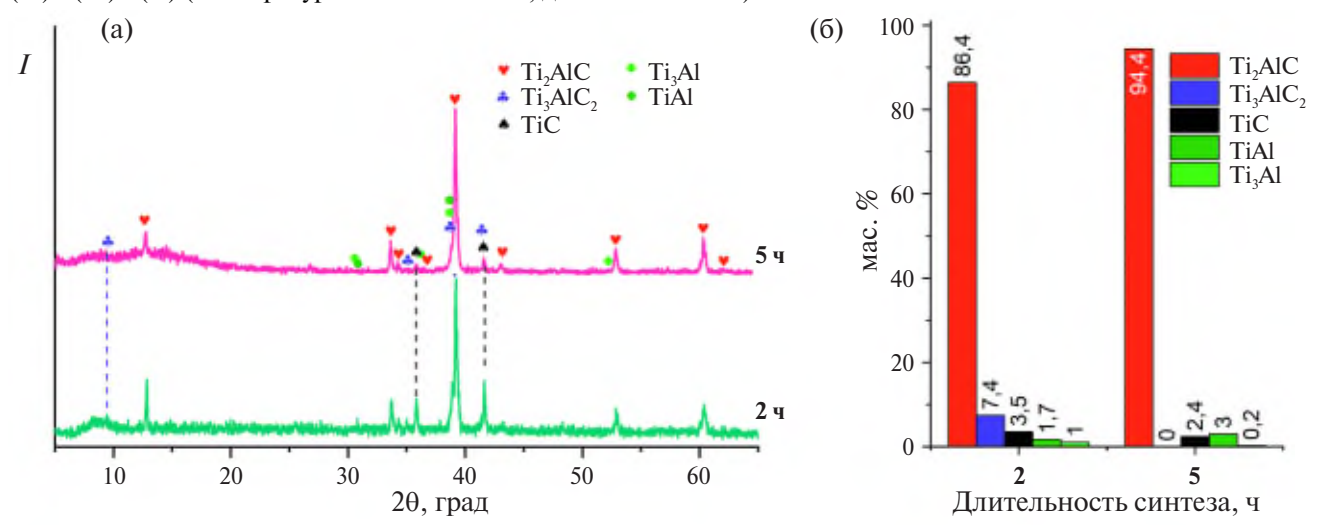
образом, усло-Таким оптимальными виями для синтеза Ti<sub>2</sub>AlC В защитном мольрасплаве KBr при использовании ного соотношения n(Ti):n(Al):n(C)= 2:1.1:0.9 являются температуры в интервале 900-1100°C (содержание основного вещества составляло 94-96%) в течение 5 ч.



**Рис. 1.** Рентгенограммы (а, в, д) и фазовый состав продуктов (б, г, е), полученных при варьировании соотношений n(Ti):n(Al):n(C) (температура синтеза 1100°C, длительность 5 ч).



**Рис. 2.** Изменение массового содержания (*w*) MAX-фазы  $Ti_2AlC$  в зависимости от мольного соотношения n(Ti):n(Al):n(C) (температура синтеза  $1100^{\circ}C$ , длительность 5 ч).

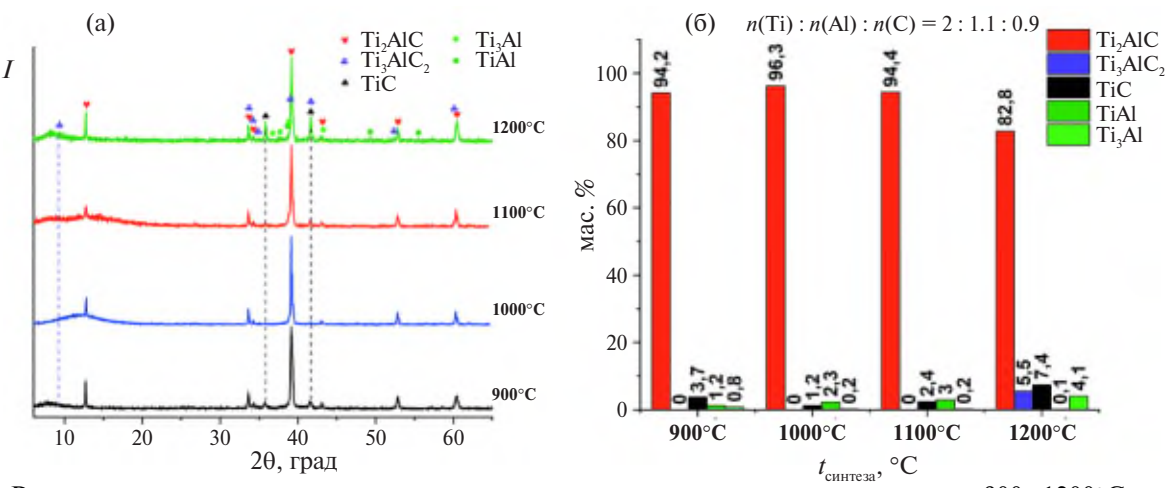


**Рис. 3.** Рентгенограммы продуктов, полученных в результате синтеза при температуре  $1100^{\circ}$ С в течение 2 и 5 ч с соотношением n(Ti):n(Al):n(C) = 2:1.1:0.9 (а), и их фазовый состав (б).

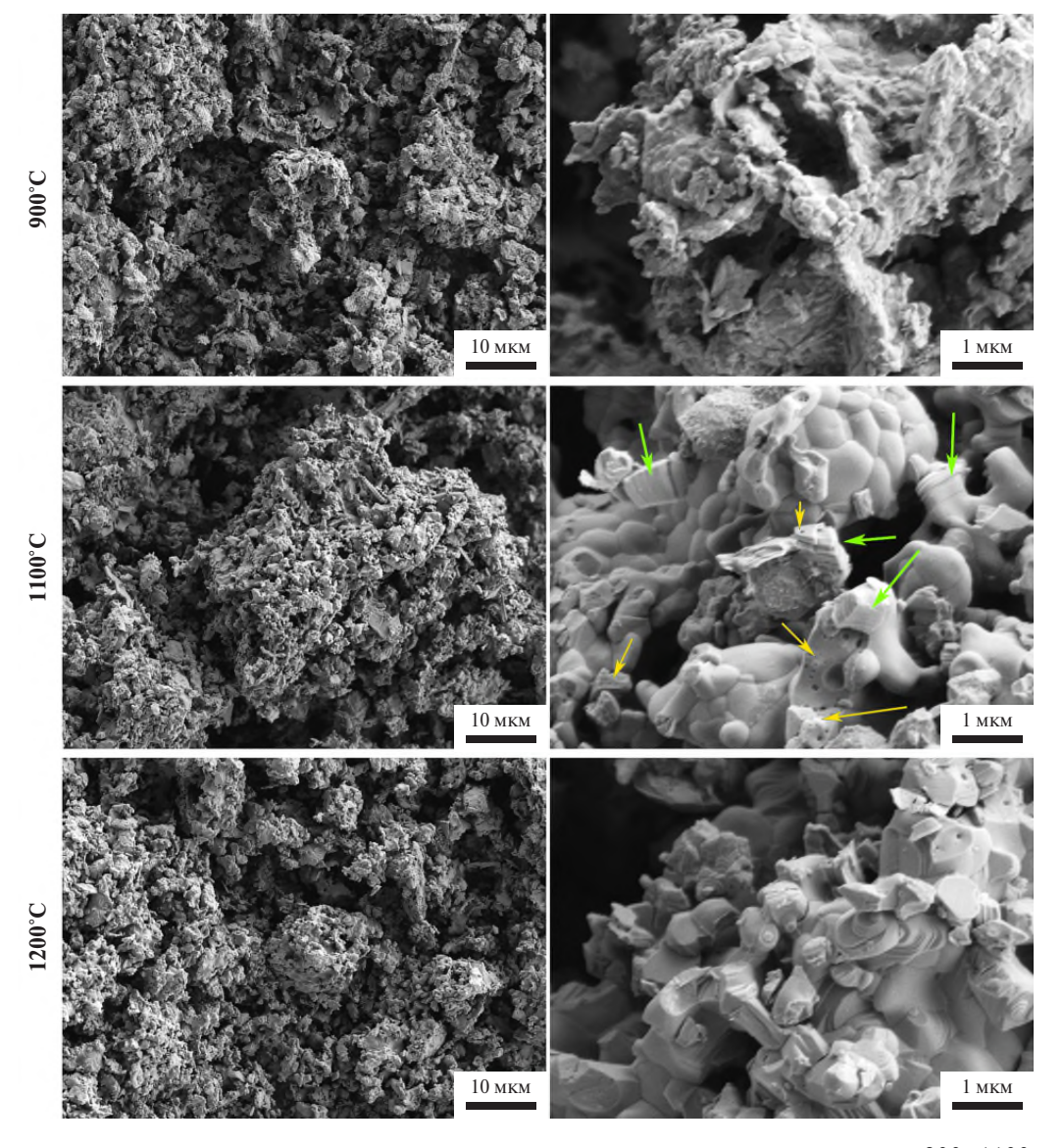
Исследование некоторых свойств полученных продуктов: термическое поведение в токе воздуха и работа выхода электрона в продуктах Ti<sub>2</sub>AlC, синтезированных при различных условиях

Для образцов, полученных на основе исходного состава n(Ti):n(Al):n(C)=2:1.1:0.9 при температурах 900, 1100 и 1200°С, изучены особенности микроструктуры (рис. 5). Установлено, что в порошке, полученном при минимальной температуре 900°С, преобладают сростки достаточно дисперсных плоских частиц осколочной фор-

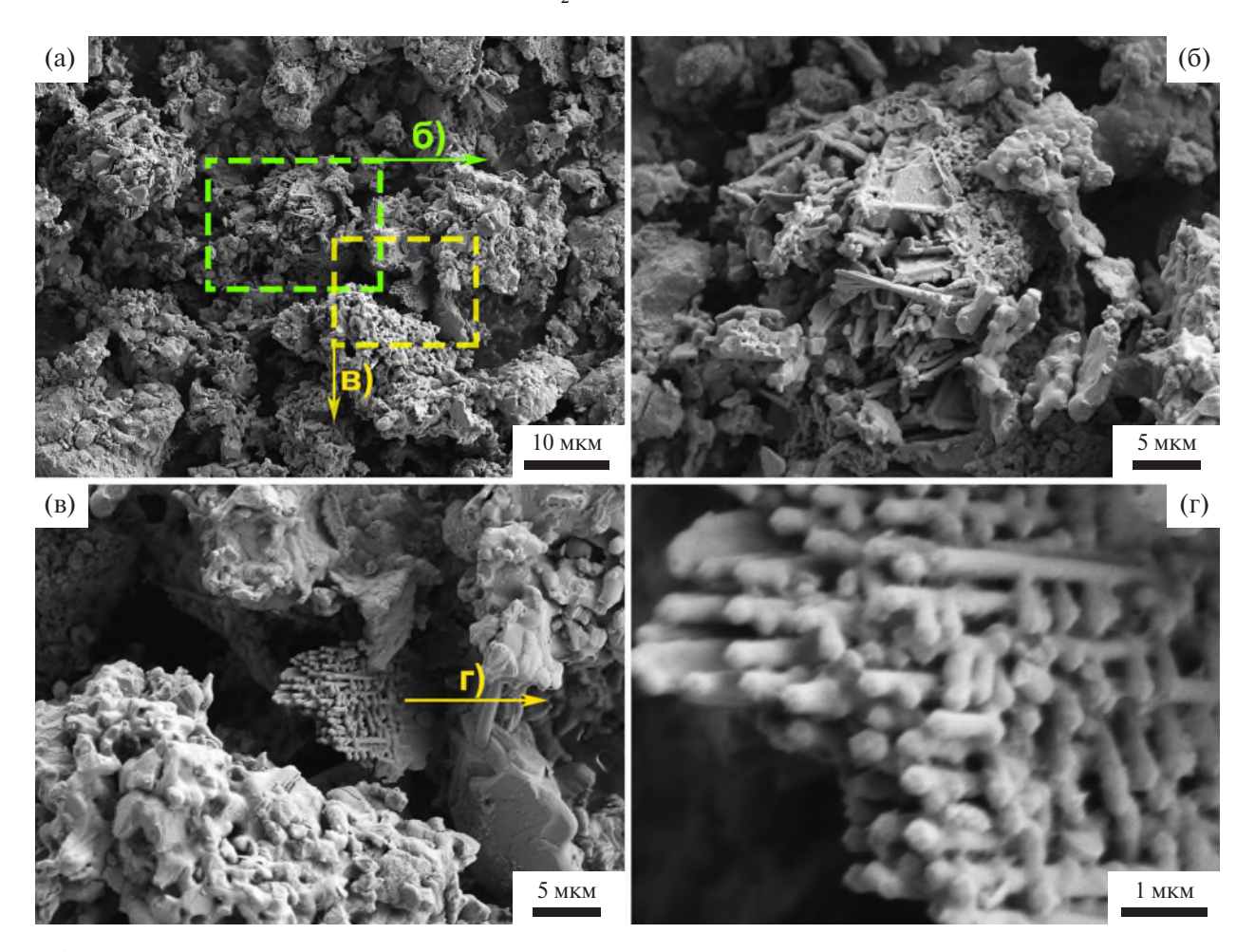
мы толщиной  $\sim$ 200—300 нм. Для более высокотемпературного продукта, синтезированного при  $1100^{\circ}$ С, отмечается укрупнение зерен, составляющих сростки, до 0.4-1 мкм. Кроме того, заметна слоистая структура (обозначена зелеными стрелками), свойственная для MAX-фаз. Из особенностей также необходимо отметить наличие в объеме зерна  $Ti_2AlC$  сферических пустотелых дефектов диаметром <100-200 нм (выделены желтыми стрелками), которые далее сохраняются в слоях максенов  $Ti_2CT_x$  при получении их с применением травящей системы NaF-HCl [15, 61].



**Рис. 4.** Рентгенограммы продуктов, полученных в результате синтеза при температурах  $900-1200^{\circ}$ C с соотношением n(Ti):n(Al):n(C) = 2:1.1:0.9 (a), и их фазовый состав (б).



**Рис. 5.** Микроструктура продуктов, полученных в результате синтеза при температурах 900, 1100 и 1200°С (5 ч) образцов с исходным соотношением n(Ti):n(Al):n(C)=2:1.1:0.9; зеленые стрелки акцентируют внимание на слоистой структуре порошка, желтые — на имеющихся в объеме сферических дефектах.



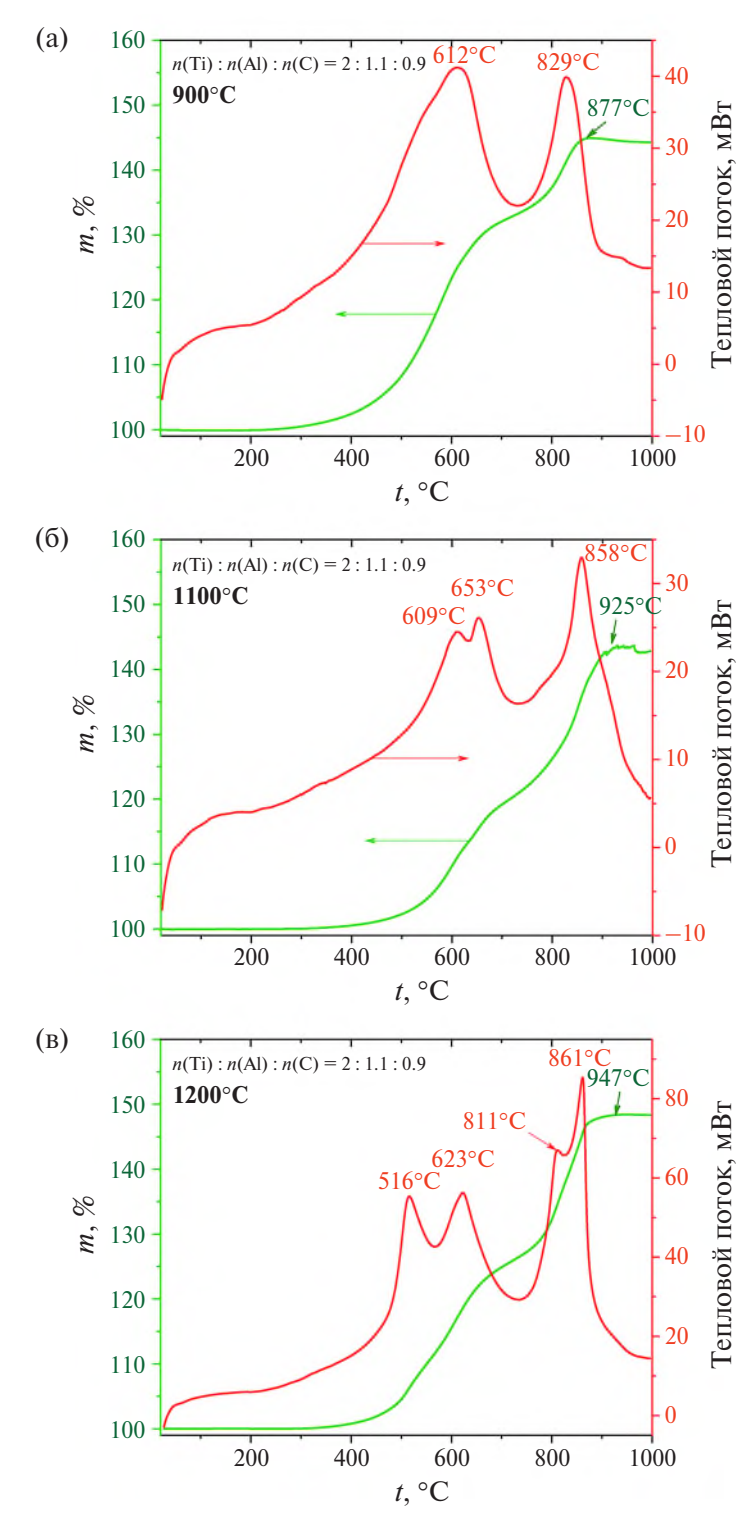
**Рис. 6.** Микроструктура продукта, полученного в результате термической обработки образца с исходным соотношением n(Ti):n(Al):n(C)=2:1:1 при температуре  $1100^{\circ}\text{C}$  (5 ч).

Дальнейшее повышение температуры синтеза до 1200°С приводит к еще большему проявлению слоистой структуры соединения.

Для сравнения изучена микроструктура образца, синтезированного при стехиометрическом мольном соотношении  $n(\mathrm{Ti}):n(\mathrm{Al}):n(\mathrm{C})=2:1:1$  и температуре  $1100^{\circ}\mathrm{C}$  (рис. 6), для которого установлено минимальное содержание целевой фазы  $\mathrm{Ti}_2\mathrm{AlC}$  (74%) и максимальное — побочных фаз  $\mathrm{Ti}_3\mathrm{AlC}_2$  (16%) и  $\mathrm{TiC}$  (~10%). Фазовая неоднородность выражается также в значительном разнообразии форм присутствующих в продукте частиц: помимо крупных сростков ограненных частиц со слоистой структурой отмечается наличие иерархически организованных образований, собранных из стержнеообразных первичных частиц.

Изучение термического поведения образцов, полученных при различных температурах, при нагреве в токе воздуха проводили в интервале температур  $20-1000^{\circ}$ C (рис. 7). Из рис. 7 видно, что во всех трех случаях общая картина окисле-

ния сходная: наблюдаются две большие ступени прироста массы, сопровождаемые экзотермическими процессами с максимумами в интервалах температур 500-700 и 800-900°C, однако имеются и некоторые отличия. Так, для образца, полученного при минимальной температуре 900°C, можно отметить существенно меньшую температуру начала роста массы: приросту массы на 1% соответствует температура 341°C, в то время как при температуре синтеза 1100°C этот процесс начинается при 451°C. Вероятно, это связано с тем, что в первом случае дисперсность образовавшегося образца была значительно выше, при температуре синтеза 1100°C наблюдалось заметное укрупнение зерен. Для образца, полученного при максимальной температуре 1200°C, отмечается некоторое снижение температур как начала окисления (прирост массы на 1% происходит при 412°C), так и максимумов соответствующих тепловых эффектов. Это может быть связано с синтезом в данных условиях более реакционно-



**Рис. 7.** Кривые ДСК (красные) и ТГА (зеленые) образцов  $Ti_2AlC$ , синтезированных при температурах 900, 1100 и 1200°С (5 ч) и исходном соотношении n(Ti):n(Al):n(C) = 2:1.1:0.9.

способных фаз в довольно высоком количестве, в частности дисперсных TiC и  $Ti_3Al$ , т.е. можно констатировать получение наиболее стойкого к окислению порошка  $Ti_2AlC$  при промежуточной температуре  $1100^{\circ}C$ .

КЗСМ для образцов с исходным соотношением n(Ti):n(Al):n(C)=2:1.1:0.9 показала, что работа выхода снижается по мере увеличения температуры синтеза с  $4.85\pm0.06$  эВ ( $900^{\circ}\text{C}$ ) до  $4.76\pm0.06$  эВ ( $1100^{\circ}\text{C}$ ) и  $4.58\pm0.05$  эВ ( $1200^{\circ}\text{C}$ ).

Это хорошо коррелирует с изменениями в составе материалов. Так, при температурах 900 и 1100°C составы весьма близки и значения работы выхода для них отличаются мало, практически в пределах погрешности. Однако синтез при 1200°C приводит к появлению дополнительных примесей в достаточно больших количествах и значительному падению содержания целевой МАХ-фазы Ti<sub>2</sub>AlC, этим же, вероятно, объясняется заметное снижение величины работы выхода электрона: возникает нанокомпозит со множеством переходов между хорошо проводящими фазами, из-за чего электроны начинают демонстрировать повышенную подвижность и в большей степени концентрируются в зонах проводимости.

#### ЗАКЛЮЧЕНИЕ

Изучено влияние соотношений исходных реагентов (n(Ti):n(Al):n(C)), температуры и длительности термической обработки на синтез в защитном расплаве солей (в присутствии KBr) перспективной MAX-фазы Ti<sub>2</sub>AlC, содержащей минимальное количество примесей (Ti<sub>3</sub>AlC<sub>2</sub>, TiC, TiAl, Ti<sub>3</sub>Al, Ti). Установлено, что при температуре 1100°C (время выдержки 5 ч) наибольшего выхода целевой МАХ-фазы (94.4%) удается добиться при использовании умеренного (10%) недостатка углерода и избытка алюминия по сравнению со стехиометрическим соотношением, т.е. оптимальным в данных условиях признано соотношение n(Ti):n(Al): n(C) = 2:1.1:0.9. При этом минимальное содержание Ti<sub>2</sub>AlC (74.0%) отмечено именно для соотношения n(Ti):n(Al):n(C) == 2:1:1. Дальнейшее повышение содержания алюминия и снижение количества углерода приводит не к смещению равновесия в пользу получения Ti<sub>2</sub>AlC, а к образованию прежде всего побочной MAX-фазы  $Ti_3AlC_2$ .

Снижение длительности нагрева с 5 до 2 ч также способствует уменьшению содержания  $Ti_2AlC$  за счет образования в продукте  $Ti_3AlC_2$  и большего количества остаточного TiC.

Исследование значения температуры синтеза показало, что высокое содержание (94—96%) целевой МАХ-фазы образуется при 900—1100°С (длительность 5 ч), дальнейшее увеличение температуры до 1200°С приводит к уменьшению содержания  $Ti_2AlC$  до ~83% и повышению в составе продукта количества TiC (до 7.4%),  $Ti_3AlC_2$  (до

5.5%) и  $Ti_3Al$  (до 4.1%). Наибольшее содержание  $Ti_2AlC$  зафиксировано в результате его синтеза при температуре  $1000^{\circ}C$ .

Анализ микроструктуры показал, что при минимальной температуре получения Ti<sub>2</sub>AlC 900°C продукт представляет собой относительно мелкие агрегаты относительно плоских частиц, для образца же, синтезированного при 1100°C, наблюдается значительное укрупнение, появляются признаки слоистой структуры. Это отражается и на термическом поведении порошков: для более дисперсного образца температура начала окисления более чем на 100°C выше по сравнению с таковой для существенно спеченного образца, синтезированного при температуре 1100°С. Применение температуры синтеза 1200°С приводит к снижению содержания основного вещества, что отражается более разнообразной микроструктурой за счет выделения побочных фаз TiC, Ti<sub>3</sub>AlC<sub>2</sub> и Ti<sub>3</sub>Al, некоторые из которых являются менее стойкими к окислению по сравнению с Ti<sub>2</sub>AlC.

Методом КЗСМ установлено, что фазовая чистота продукта значительно влияет и на такое свойство материала, как работа выхода электрона. Так, для образцов, синтезированных при соотношении n(Ti):n(Al):n(C)=2:1.1:0.9 и температурах 900 и  $1100^{\circ}\text{C}$ , с близким содержанием основной фазы (94.2 и 94.4% соответственно) получены также близкие значения работы выхода:  $4.85 \pm 0.06$  и  $4.76 \pm 0.06$  эВ соответственно, в то время как для образца, полученного при температуре  $1200^{\circ}\text{C}$ , работа выхода значительно отличается и составляет  $4.58 \pm 0.05$  эВ.

Таким образом, оптимизация состава исходных смесей, температуры и длительности синтеза с расплавом солей (на примере КВг) позволяет получить MAX-фазу Ti<sub>2</sub>AlC с чистотой до 96%.

#### ФИНАНСИРОВАНИЕ РАБОТЫ

Работа выполнена при финансовой поддержке Российского научного фонда (грант № 24-23-00561), https://rscf.ru/project/24-23-00561/.

#### КОНФЛИКТ ИНТЕРЕСОВ

Авторы заявляют об отсутствии у них конфликта интересов.

#### СПИСОК ЛИТЕРАТУРЫ

- 1. *Simonenko E.P., Simonenko N.P., Nagornov I.A. et al.* // Russ. J. Inorg. Chem. 2022. V. 67. № 5. P. 705. https://doi.org/ 10.1134/S0036023622050187
- 2. Haftani M., Saeedi Heydari M., Baharvandi H.R. et al. // Int. J. Refract. Met. Hard Mater. 2016. V. 61. P. 51.
  - https://doi.org/ 10.1016/j.ijrmhm.2016.07.006
- 3. *Tallman D.J.*, *Anasori B.*, *Barsoum M.W.* // Mater. Res. Lett. 2013. V. 1. № 3. P. 115. https://doi.org/ 10.1080/21663831.2013.806364
- 4. *Elsenberg A., Busato M., Gartner F. et al.* // J. Therm. Spray Technol. 2021. V. 30. № 3. P. 617. https://doi.org/ 10.1007/s11666-020-01110-w
- 5. *Poulou A., Mellan T.A., Finnis M.W.* // Phys. Rev. Mater. 2021. V. 5. № 3. P. 033608. https://doi.org/10.1103/PhysRevMaterials.5.033608
- 6. *Aydinyan S.* // Ceram. Int. 2024. V. 50. № 7. P. 12263. https://doi.org/ 10.1016/j.ceramint.2024.01.130
- Li Z., Zhang Y., Wang K. et al. // Corros. Sci. 2024.
   V. 228. P. 111820. https://doi.org/10.1016/j.corsci.2024.111820
- 8. *Liu P., Wang Z., Ye F. et al.* // Composites Part B: Eng. 2024. V. 273. P. 111259. https://doi.org/ 10.1016/j.compositesb.2024.111259
- 9. *Lee H., Kim S.Y., Lee Y. et al.* // J. Am. Ceram. Soc. 2023. V. 106. № 12. P. 7230. https://doi.org/ 10.1111/jace.19217
- 10. Simonenko T.L., Simonenko N.P., Gorobtsov P.Y. et al. // Materials (Basel). 2023. V. 16. № 18. P. 6133. https://doi.org/10.3390/ma16186133
- 11. *Bharti B., Kumar Y., Gupta M. et al.* // ECS Trans. 2022. V. 107. № 1. P. 1751. https://doi.org/10.1149/10701.1751ecst
- 12. *Aslam M.K., Xu M.* // Nanoscale. 2020. V. 12. № 30. P. 15993. https://doi.org/10.1039/D0NR04111D
- 13. *Cichero M.C., Zimnoch Dos Santos J.H.* // Mater. Res. Found. 2019. V. 51. P. 1. https://doi.org/ 10.21741/9781644900253-1
- 14. *Simonenko E.P., Simonenko N.P., Mokrushin A.S. et al.* // Nanomaterials. 2023. V. 13. № 5. P. 850. https://doi.org/ 10.3390/nano13050850
- 15. *Simonenko E.P., Nagornov I.A., Mokrushin A.S. et al.* // Materials (Basel). 2023. V. 16. № 13. P. 4506. https://doi.org/ 10.3390/ma16134506
- 16. Simonenko E.P., Simonenko N.P., Nagornov I.A. et al. // Russ. J. Inorg. Chem. 2022. V. 67. № 11. P. 1850. https://doi.org/10.1134/S0036023622601222
- Ganesh P.-S., Kim S.-Y. // J. Ind. Eng. Chem. 2022.
   V. 109. P. 52.
   https://doi.org/10.1016/j.jiec.2022.02.006
- Sivasankarapillai V.S., Sharma T.S.K., Hwa K.-Y. et al. // ES Energy Environ. 2022. V. 15. P. 4. https://doi.org/10.30919/esee8c618

- 19. Alwarappan S., Nesakumar N., Sun D. et al. // Biosens. Bioelectron. 2022. V. 205. P. 113943. https://doi.org/10.1016/j.bios.2021.113943
- 20. *Shah N., Wang X., Tian J.* // Mater. Chem. Front. 2023. V. 7. № 19. P. 4184. https://doi.org/10.1039/D3QM00216K
- 21. *Li K., Zhang S., Li Y. et al.* // Chinese J. Catal. 2021. V. 42. № 1. P. 3. https://doi.org/10.1016/S1872-2067(20)63630-0
- 22. *Xie X., Zhang N.* // Adv. Funct. Mater. 2020. V. 30. № 36. P. 2002528. https://doi.org/10.1002/adfm.202002528
- Liu Z., Sun C., Xu M. et al. // Mater. Lett. 2024. V. 365.
   P. 136437.
   https://doi.org/10.1016/j.matlet.2024.136437
- 24. *Wang W., Xu J., Zuo J. et al.* // Acta Metall. Sin. (English Lett). 2024. V. 37. № 4. P. 739. https://doi.org/10.1007/s40195-023-01647-z
- 25. *Perevislov S.N., Sokolova T.V., Stolyarova V.L.* // Mater. Chem. Phys. 2021. V. 267. P. 124625. https://doi.org/10.1016/j.matchemphys.2021.124625
- Hoffman E.N., Vinson D.W., Sindelar R.L. et al. // Nucl. Eng. Des. 2012. V. 244. P. 17. https://doi.org/10.1016/j.nucengdes.2011.12.009
- 27. *Qiu B., Wang J., Deng Y. et al.* // Nucl. Eng. Technol. 2020. V. 52. № 1. P. 1. https://doi.org/ 10.1016/j.net.2019.07.030
- 28. *Azina C., Badie S., Litnovsky A. et al.* // Sol. Energy Mater. Sol. Cells. 2023. V. 259. P. 112433. https://doi.org/ 10.1016/j.solmat.2023.112433
- 29. *Ma H.-B.*, *Xue J.-X.*, *Zhai J.-H. et al.* // Ceram. Int. 2020. V. 46. № 9. P. 14269. https://doi.org/10.1016/j.ceramint.2020.02.155
- 30. *Fitriani P., Yoon D.-H.* // Ceram. Int. 2018. V. 44. № 18. P. 22943. https://doi.org/10.1016/j.ceramint.2018.09.090
- 31. *Fitriani P., Septiadi A., Hyuk J.D. et al.* // J. Eur. Ceram. Soc. 2018. V. 38. № 10. P. 3433. https://doi.org/10.1016/j.jeurceramsoc.2018.04.006
- 32. *Septiadi A., Fitriani P., Sharma A.S. et al.* // J. Korean Ceram. Soc. 2017. V. 54. № 4. P. 340. https://doi.org/10.4191/kcers.2017.54.4.08
- 33. *Jimenez C., Mergia K., Lagos M. et al.* // J. Eur. Ceram. Soc. 2016. V. 36. № 3. P. 443. https://doi.org/10.1016/j.jeurceramsoc.2015.09.038
- 34. *Katoh Y., Snead L.L., Cheng T. et al.* // J. Nucl. Mater. 2014. V. 448. № 1–3. P. 497. https://doi.org/10.1016/j.jnucmat.2013.10.002
- 35. *Wu J., Yan J., Peng H. et al.* // J. Eur. Ceram. Soc. 2024. V. 44. № 6. P. 3777. https://doi.org/10.1016/j.jeurceramsoc.2023.12.097
- 36. *Chen W., Chen J., Zhu M. et al.* // J. Eur. Ceram. Soc. 2021. V. 41. № 13. P. 6248. https://doi.org/10.1016/j.jeurceramsoc.2021.06.037
- 37. *Badie S., Dash A., Sohn Y.J. et al.* // J. Am. Ceram. Soc. 2021. V. 104. № 4. P. 1669. https://doi.org/ 10.1111/jace.17582

- 38. *Cai L., Huang Z., Hu W. et al.* // Int. J. Appl. Ceram. Technol. 2018. V. 15. № 5. P. 1212. https://doi.org/10.1111/ijac.12902
- 39. *Naik Parrikar P., Benitez R., Gao H. et al.* // Exp. Mech. 2017. V. 57. № 5. P. 675. https://doi.org/10.1007/s11340-017-0264-4
- 40. *Bei G., Pedimonte B., Fey T. et al.* // J. Am. Ceram. Soc. 2013. V. 96. № 5. P. 1359. https://doi.org/10.1111/jace.12358
- 41. *He G., Zhang Y., Yao P. et al.* // J. Mater. Sci. Technol. 2023. V. 137. P. 91. https://doi.org/10.1016/j.jmst.2022.07.037
- 42. Rangaraj L., Kashimatt V., Pooja et al. // Int. J. Appl. Ceram. Technol. 2022. https://doi.org/10.1111/ijac.14064
- 43. *Podhurska V.Y., Ostash O.P., Vasyliv B.D. et al.* // Wear Resistance of Ti–Al–C MAX Phases-Based Materials for Pantographs Inserts of Electric Vehicles. 2021. P. 607. https://doi.org/10.1007/978-3-030-51905-6 42
- 44. *Liu Z.*, *Yang J.*, *Qian Y. et al.* // Ceram. Int. 2020. V. 46. № 14. P. 22854. https://doi.org/10.1016/j.ceramint.2020.06.055
- Magnus C., Cooper D., Sharp J. et al. // Wear. 2019.
   V. 438–439. P. 203013. https://doi.org/10.1016/j.wear.2019.203013
- Hu L., Kothalkar A., Proust G. et al. // J. Alloys Compd. 2014. V. 610. P. 635. https://doi.org/10.1016/j.jallcom.2014.04.224
- 47. Chen Y.L., Zhu X.Y., Lu P.J. et al. // Appl. Mech. Mater. 2014. V. 543–547. P. 3869. https://doi.org/10.4028/www.scientific.net/AMM.543-547.3869
- 48. *Liu X.*, *Jia Q.*, *Zhang S. et al.* // Int. Mater. Rev. 2024. V. 69. № 2. P. 107. https://doi.org/10.1177/09506608231219864
- 49. *Galvin T., Hyatt N.C., Rainforth W.M. et al.* // J. Eur. Ceram. Soc. 2018. V. 38. № 14. P. 4585.

- https://doi.org/ 10.1016/j.jeurceramsoc.2018.06.034
- 50. *Dash A., Va*β*en R., Guillon O. et al.* // Nat. Mater. 2019. V. 18. № 5. P. 465. https://doi.org/10.1038/s41563-019-0328-1
- 51. *Luo W., Liu Y., Wang C. et al.* // J. Mater. Chem. C. 2021. V. 9. № 24. P. 7697. https://doi.org/10.1039/D1TC01338F
- 52. *Nadimi H., Soltanieh M., Sarpoolaky H.* // Ceram. Int. 2022. V. 48. № 7. P. 9024. https://doi.org/10.1016/j.ceramint.2021.12.084
- 53. *Liu Z., Xu J., Xi X. et al.* // Ceram. Int. 2023. V. 49. № 1. P. 168. https://doi.org/10.1016/j.ceramint.2022.08.325
- 54. *Zhong Y., Liu Y., Jin N. et al.* // J. Am. Ceram. Soc. 2023. V. 106. № 9. P. 5567. https://doi.org/ 10.1111/jace.19178
- 55. *Zhang Z., Zhou Y., Wu S. et al.* // Ceram. Int. 2023. V. 49. № 22. P. 36942. https://doi.org/10.1016/j.ceramint.2023.09.025
- 56. *Tan Y., Xia Y., Teng Z. et al.* // J. Eur. Ceram. Soc. 2021. V. 41. № 8. P. 4658. https://doi.org/10.1016/j.jeurceramsoc.2021.03.027
- 57. Simonenko E.P., Nagornov I.A., Mokrushin A.S. et al. // Micromachines. 2023. V. 14. № 4. P. 725. https://doi.org/ 10.3390/mi14040725
- 58. *Liu A.*, *Yang Q.*, *Ren X. et al.* // Ceram. Int. 2020. V. 46. № 5. P. 6934. https://doi.org/10.1016/j.ceramint.2019.11.008
- 59. *Roy C., Banerjee P., Bhattacharyya S.* // J. Eur. Ceram. Soc. 2020. V. 40. № 3. P. 923. https://doi.org/10.1016/j.jeurceramsoc.2019.10.020
- 60. *Roy C., Banerjee P., Mondal S. et al.* // Mater. Today Chem. 2022. V. 26. P. 101160. https://doi.org/10.1016/j.mtchem.2022.101160
- 61. *Симоненко Е.П., Мокрушин А.С., Нагорнов И.А. и др.* // Журн. неорган. химии. 2024. № 9. добавить стр.

## SYNTHESIS OF Ti<sub>2</sub>AlC IN KBr MELT: EFFECT OF TEMPERATURE AND COMPONENT RATIO

E. P. Simonenko<sup>a, \*</sup>, I. A. Nagornov<sup>a</sup>, A. S. Mokrushin<sup>a</sup>, V. M. Sapronova<sup>a, b</sup>, Ph. Yu. Gorobtsov<sup>a</sup>, N. P. Simonenko<sup>a</sup>, and N. T. Kuznetsov<sup>a</sup>

<sup>a</sup> Kurnakov Institute of General and Inorganic Chemistry of the Russian Academy of Sciences, Moscow, 119991 Russia

<sup>b</sup> Mendeleev Russian University of Chemical Technology. Mendeleev Russian Chemical and Technological
University, Moscow, 125047 Russia
\*e-mail: ep\_simonenko@mail.ru

MAX phases of various compositions have recently found increasing application due to their multilayer structure and properties that are characteristic of ceramic materials and metals. Therefore, the development of easily scalable methods for obtaining these compounds characterized by increased phase purity is of great importance. Within the framework of the work the influence on the composition and properties of such MAX phase, as  $Ti_2AIC$ , conditions of its preparation with the use of protective melt of salts (on the example of KBr), in particular, ratios of initial reagents (n(Ti): n(AI): n(C)), temperature and duration of heat treatment has been studied. It was found that at the temperature  $1100^{\circ}C$  the highest yield of  $Ti_2AIC$  (94.4%) can be obtained in the case of using the molar ratio n(Ti): n(AI): n(C) = 2:1.1:0.9. It is shown that the use of synthesis temperatures from 900 to  $1100^{\circ}C$  changes the content of the target MAX phase insignificantly (from 94 to 96%), the maximum content of  $Ti_2AIC$  was found in the case of obtaining a sample at the temperature  $1000^{\circ}C$ . The influence of synthesis temperature (900, 1100 and 1200°C) on microstructure, thermal behavior in air current and the value of electron work function was also studied.

*Keywords:* MAX-phase, molten salt shielded synthesis, Ti<sub>2</sub>AlC, KBr, oxidation, electron work function